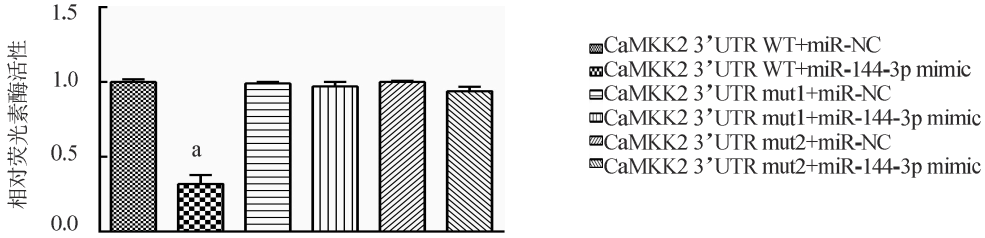
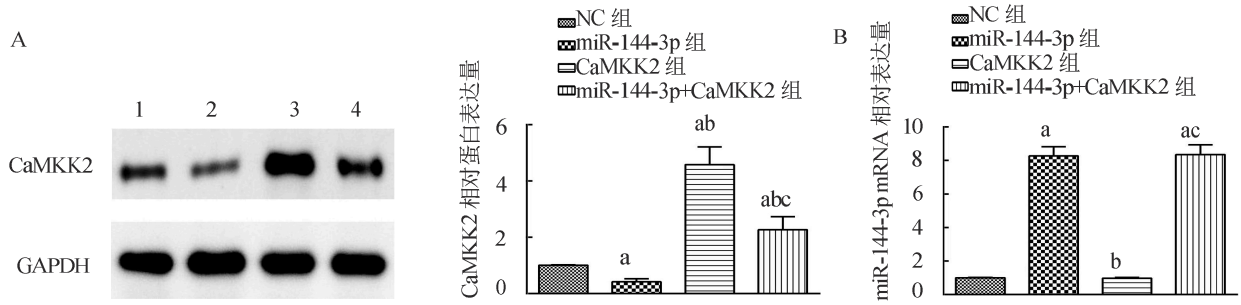
陈珍，叶丽 .miR-144-3p 靶向 CaMKK2 调控 PI3K/PDK1/Akt 信号通路抑制卵巢癌血管生成的机制（见正文第 889 页）



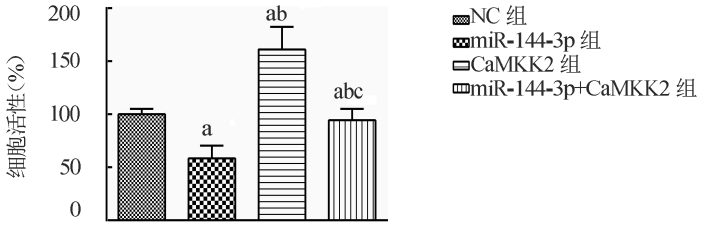
注：与转染 CaMKK2 3’UTR WT+miR-NC 比较，aP ＜ 0.05

图 1　双荧光素酶报告实验结果



注：A 为转染后各组 CaMKK2 蛋白表达，B 为转染后各组 miR-144-3p mRNA 表达。1 为 NC 组，2 为 miR-144-3p 组，3 为 CaMKK2 组，4 为 miR-144-3p+ CaMKK2 组。与 NC 组比较，aP ＜ 0.05；与 miR-144-3p 组比较，bP ＜ 0.05；与 CaMKK2 组比较，cP ＜ 0.05。CaMKK2 为钙/钙调蛋白依赖性蛋白激酶激酶 2

图 2　转染后各组 CaMKK2 蛋白表达、miR-144-3p mRNA 表达水平比较



注：与 NC 组比较，aP ＜ 0.05；与 miR-144-3p 组比较，bP ＜ 0.05；与 CaMKK2 组比较，cP ＜ 0.05

图 3　条件培养基（CM）对 HUVECs 细胞增殖的影响

何筱妍，王绍丹，徐婷婷.基于弥散加权成像多模型参数子宫内膜癌患者临床Ⅲ～Ⅳ期危险因素分析及列线图预测模型构建（见正文第 895 页）

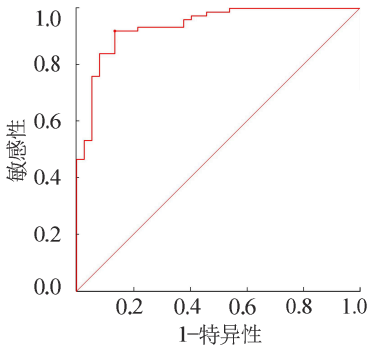


图 4　列线图风险预测模型 ROC 曲线

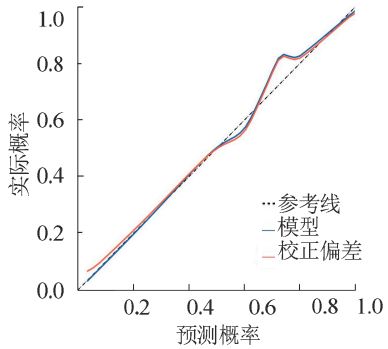


图 5　列线图风险预测模型校准曲线

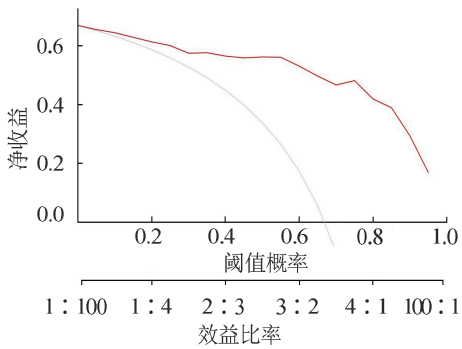


图 6　列线图风险预测模型决策曲线

马沐泽，董昭兴.2019 — 2023 年宁波市非结核分枝杆菌肺病菌种类型和流行病学特征分析（见正文第 918 页）

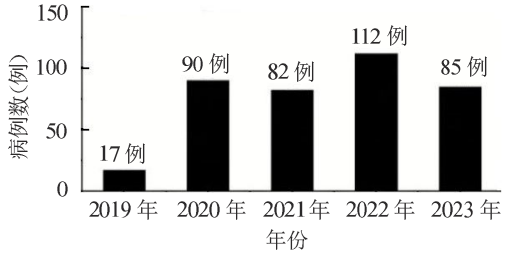


图 7　宁波市 2019 — 2023 年非结核分枝杆菌肺病病例数分布

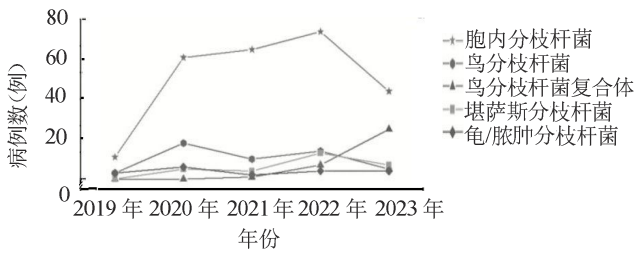


图 8　宁波市 2019 — 2023 年非结核分枝杆菌菌种病例数分布